

Fig. 1

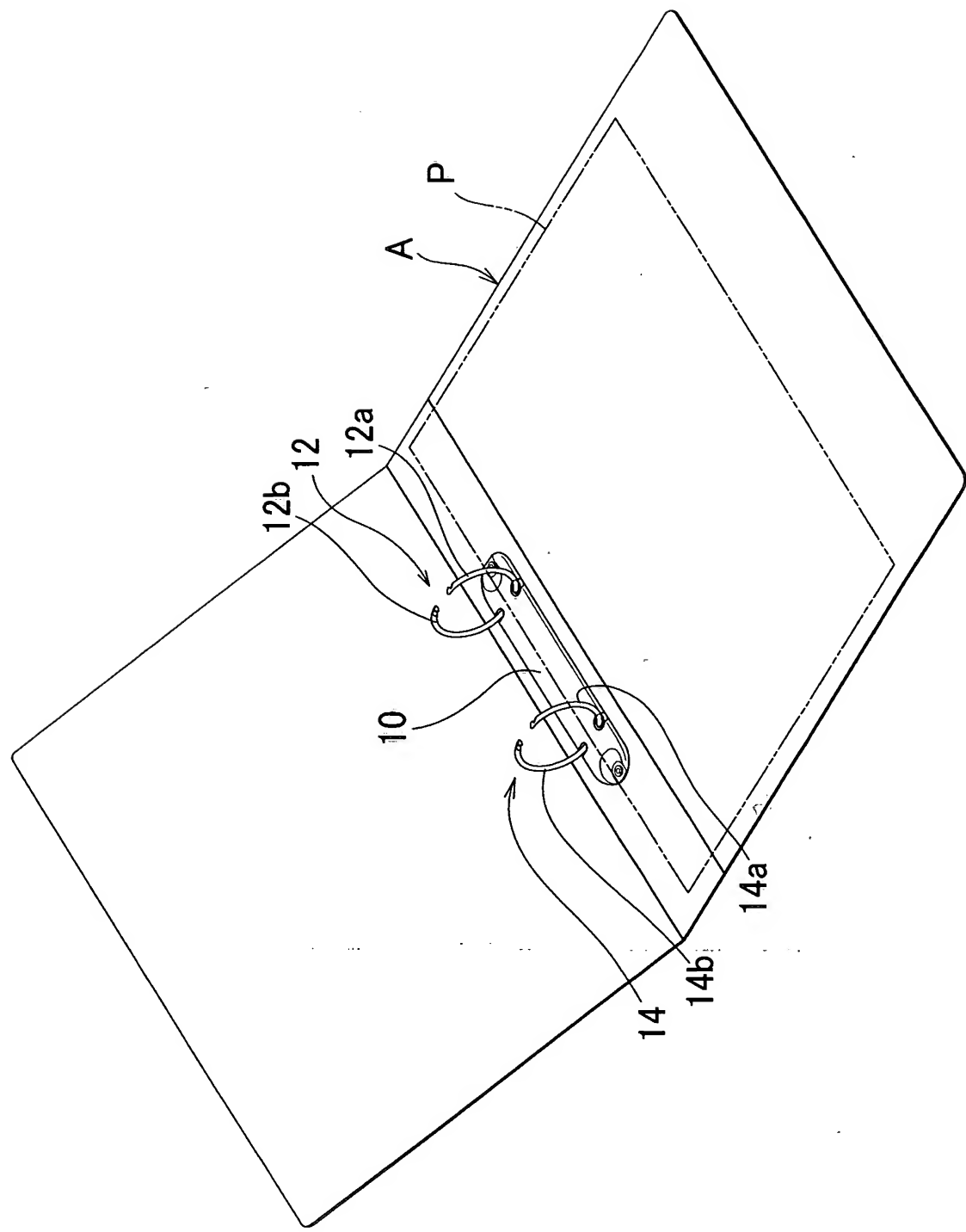


Fig.2

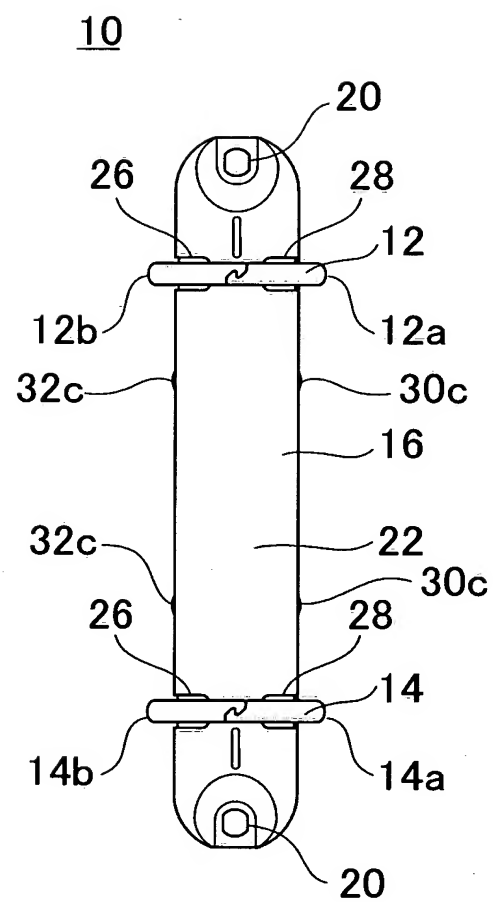


Fig.3

10

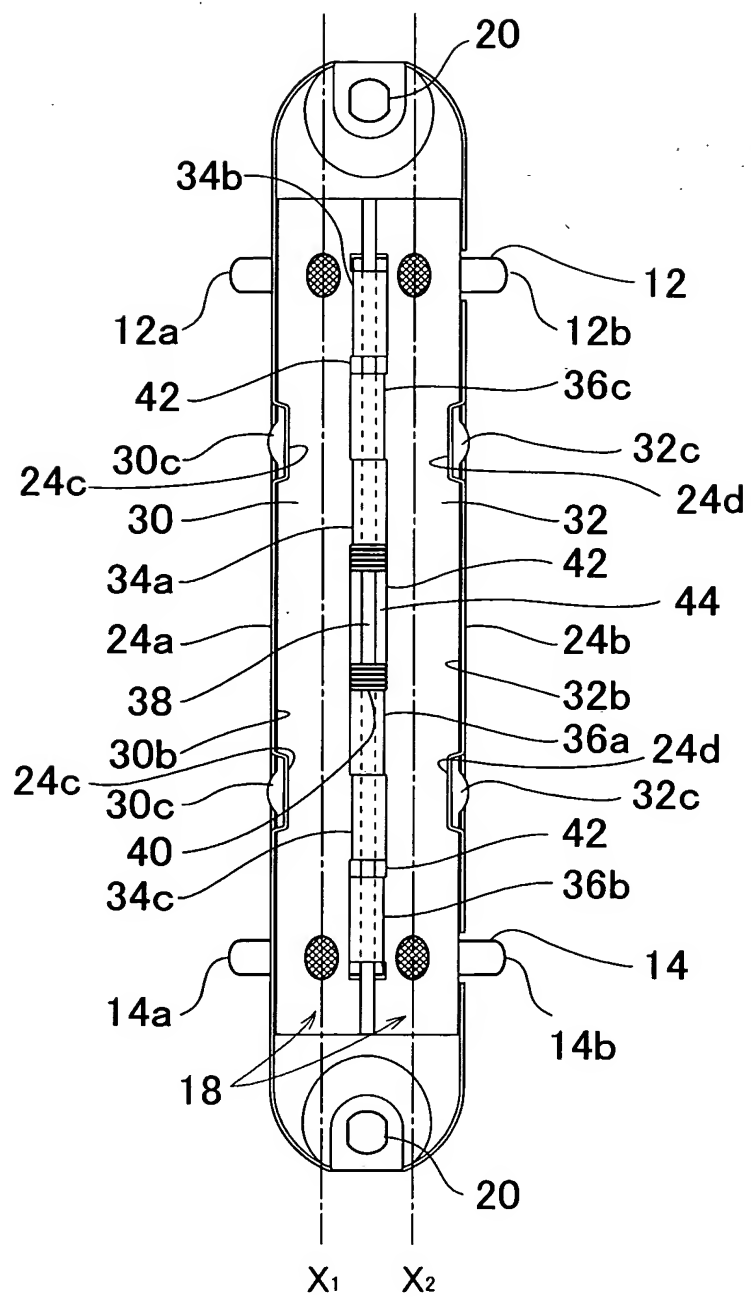


Fig.4

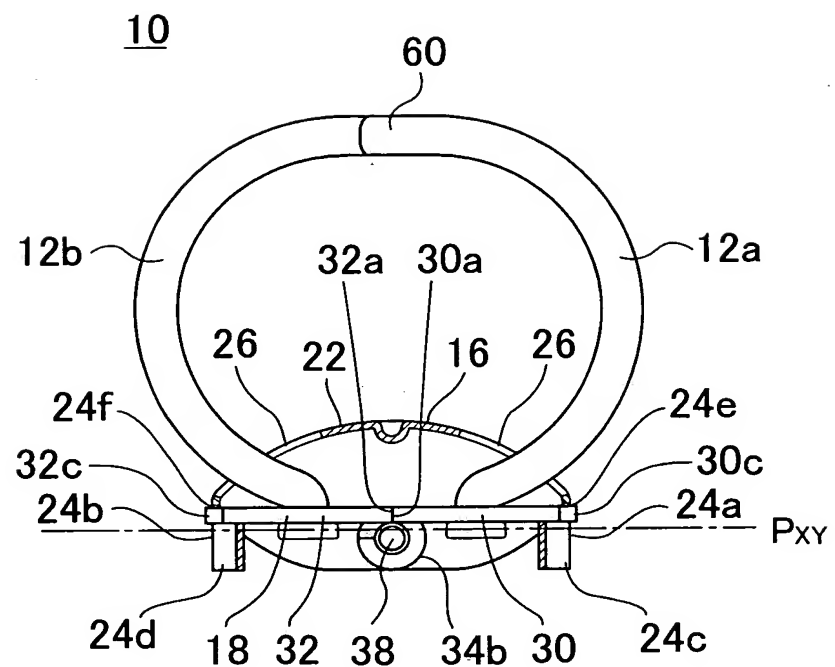


Fig.5

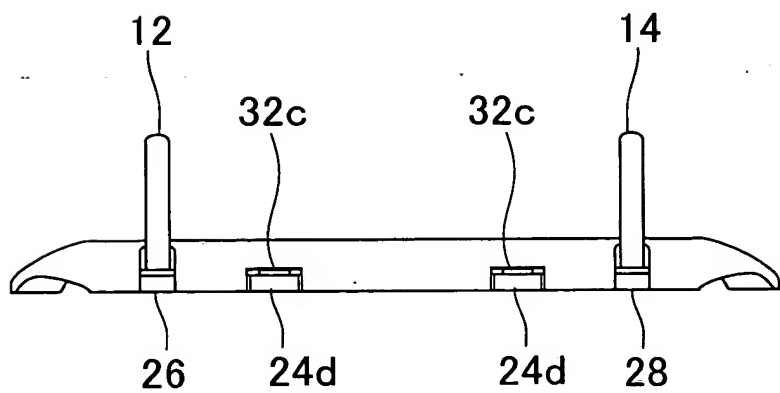


Fig.6

10

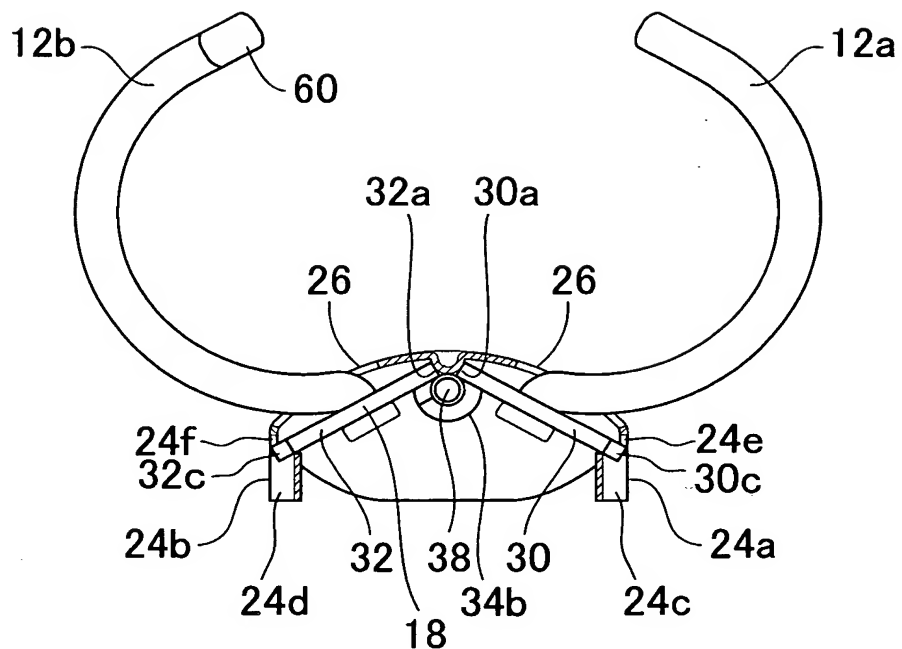


Fig.7

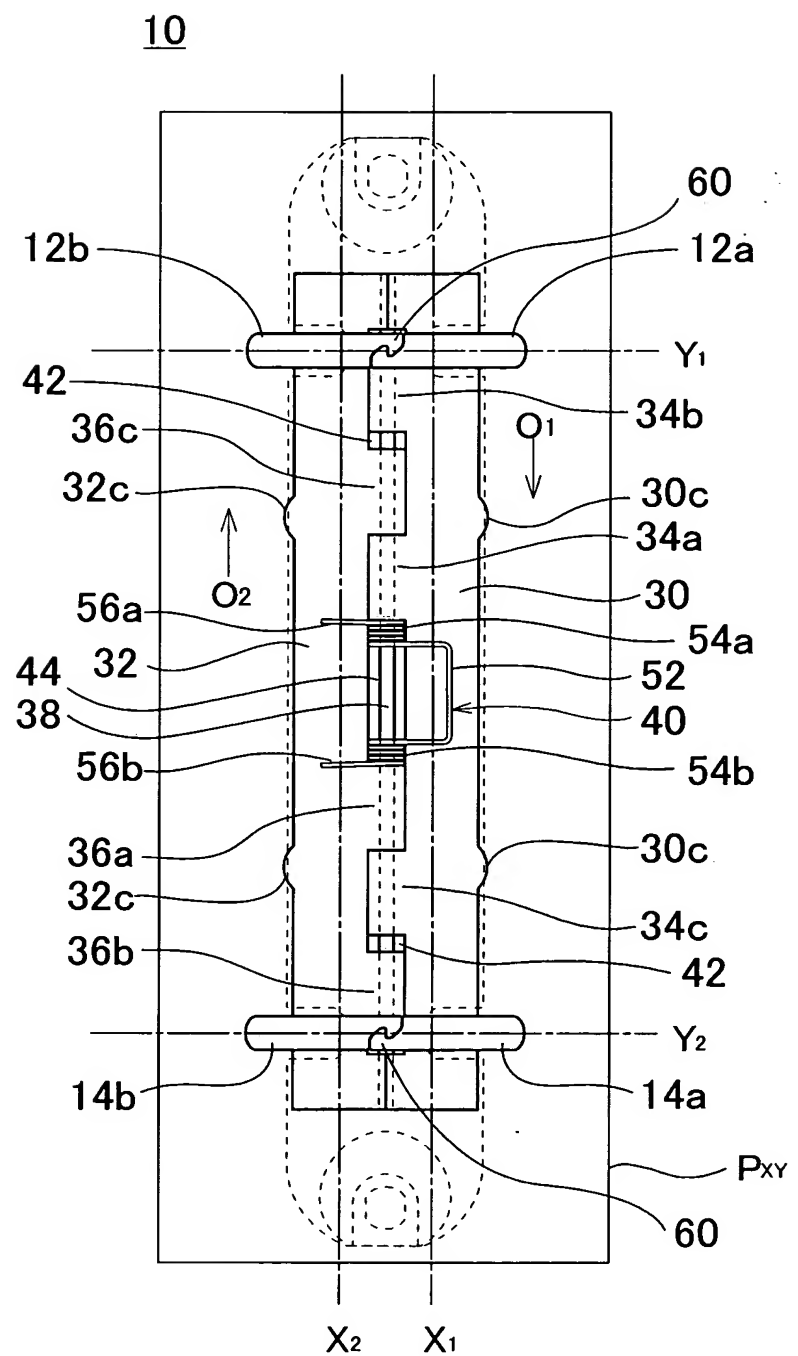


Fig.8

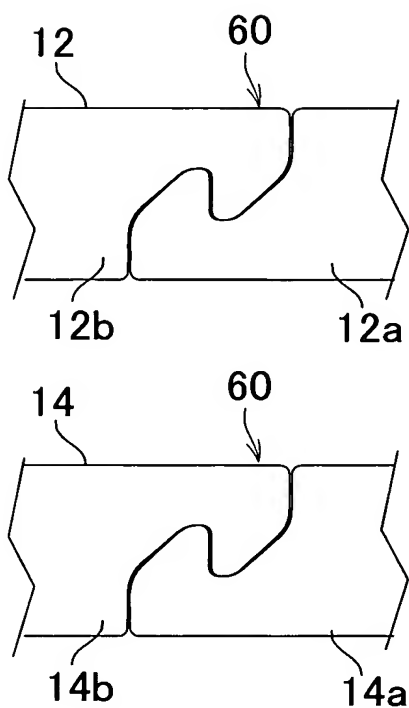


Fig.9

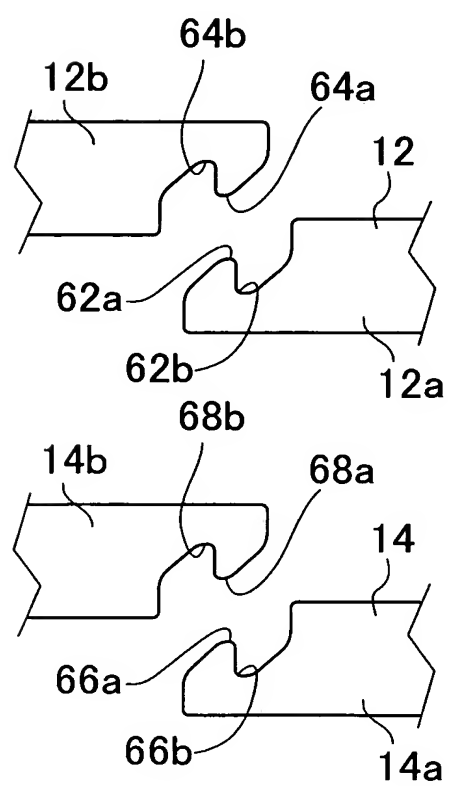


Fig.10

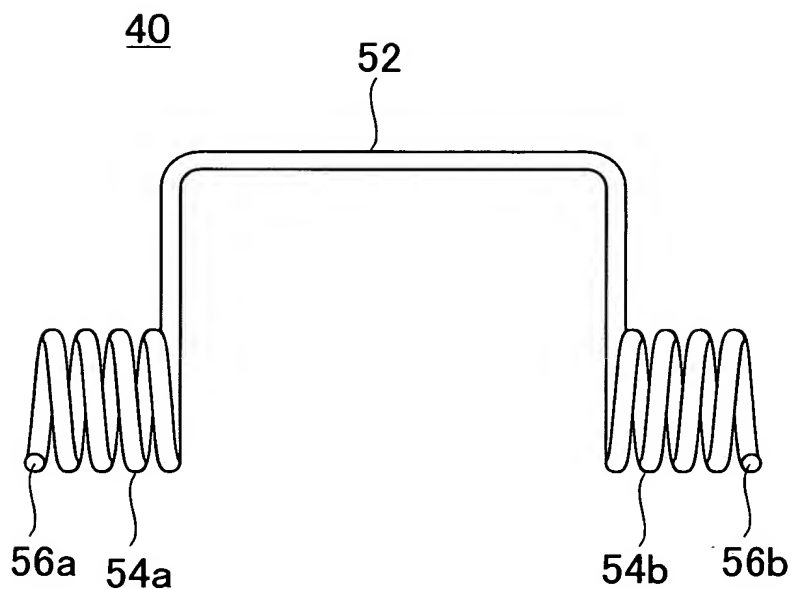


Fig.11

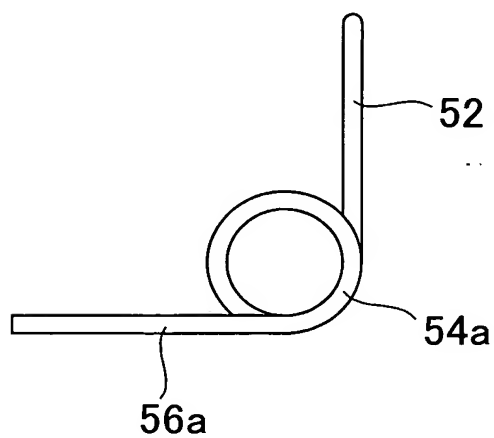


Fig.12

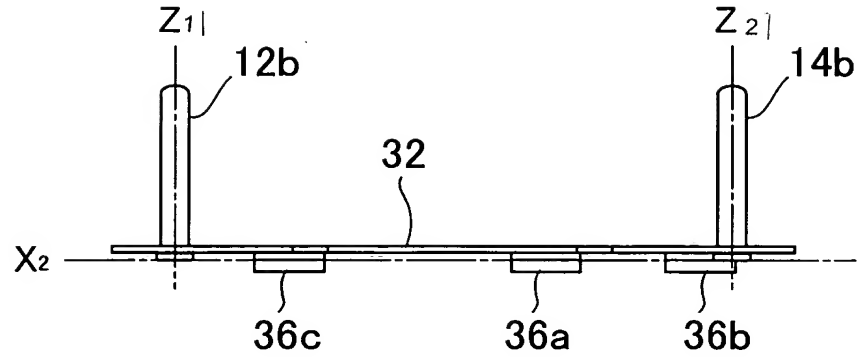


Fig.13

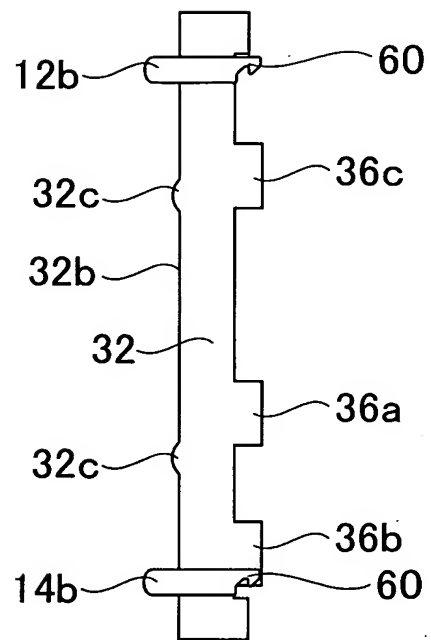


Fig.14

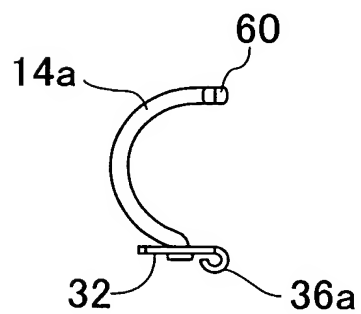


Fig.15

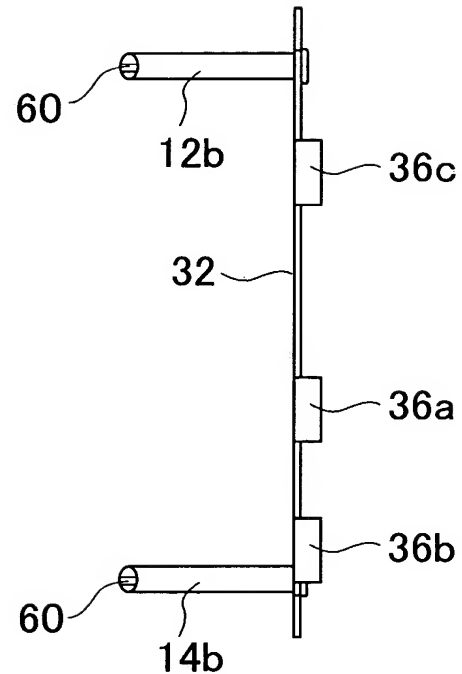


Fig.16

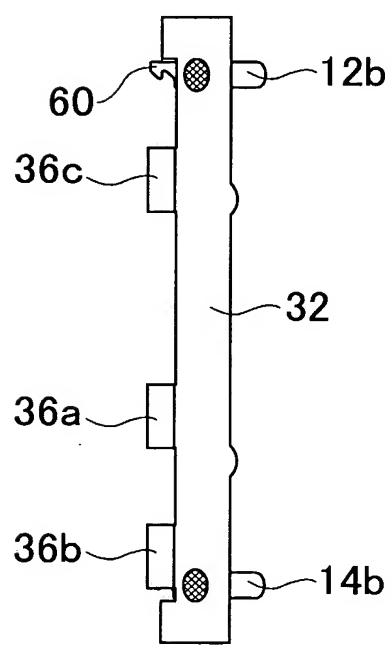


Fig.17

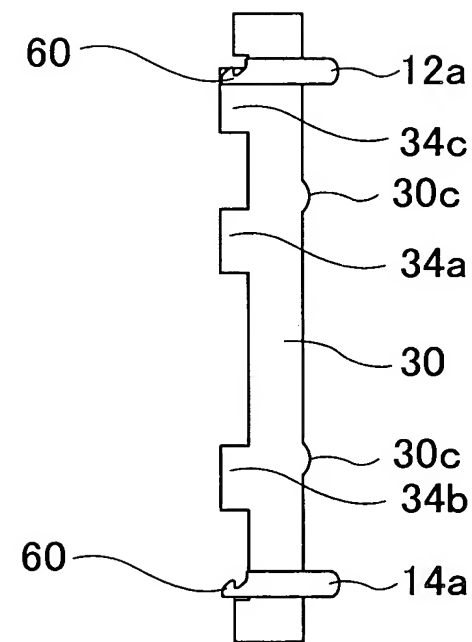


Fig.18

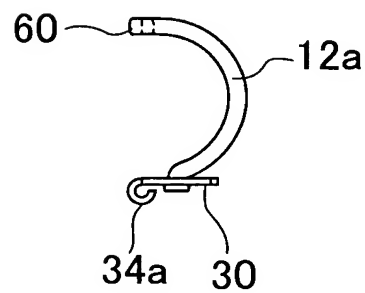


Fig.19

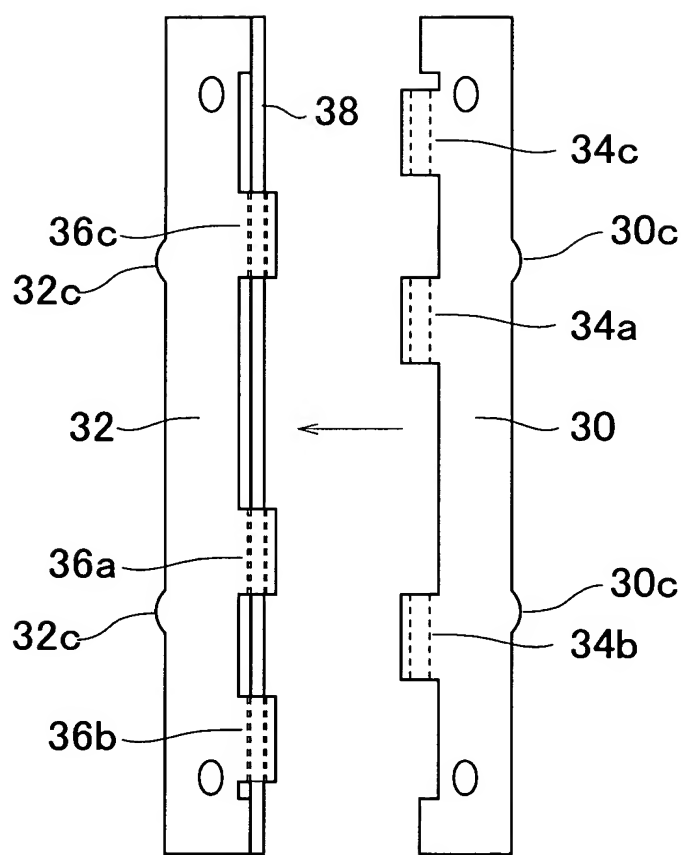


Fig.20

110

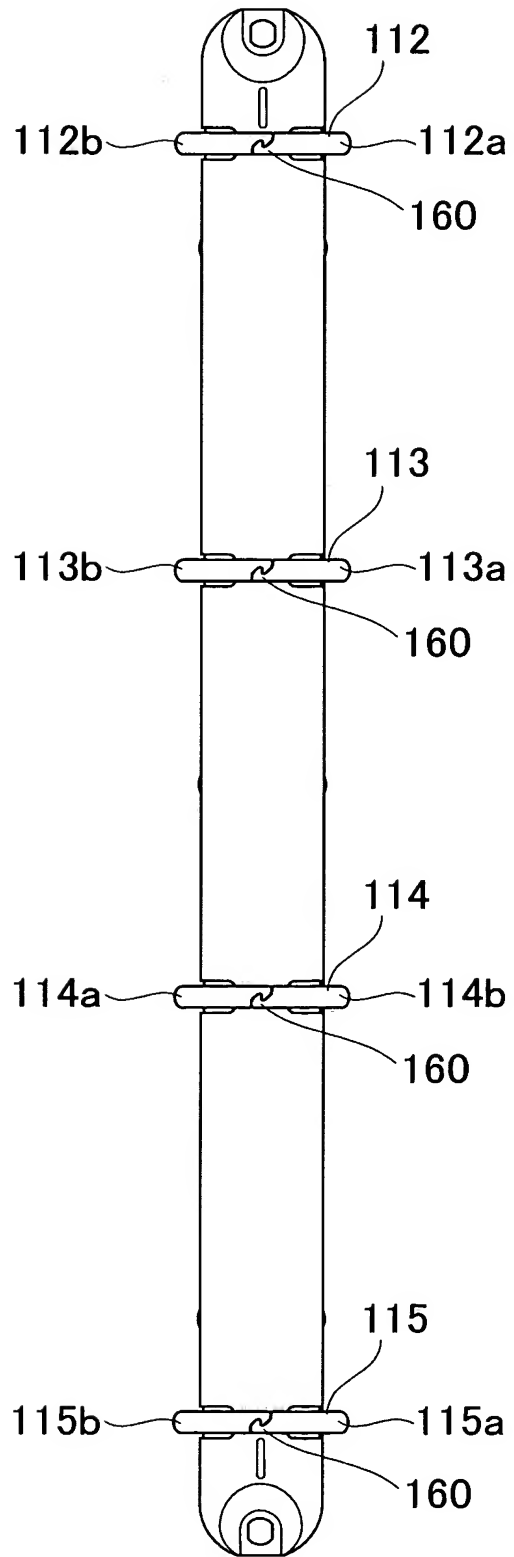


Fig.21

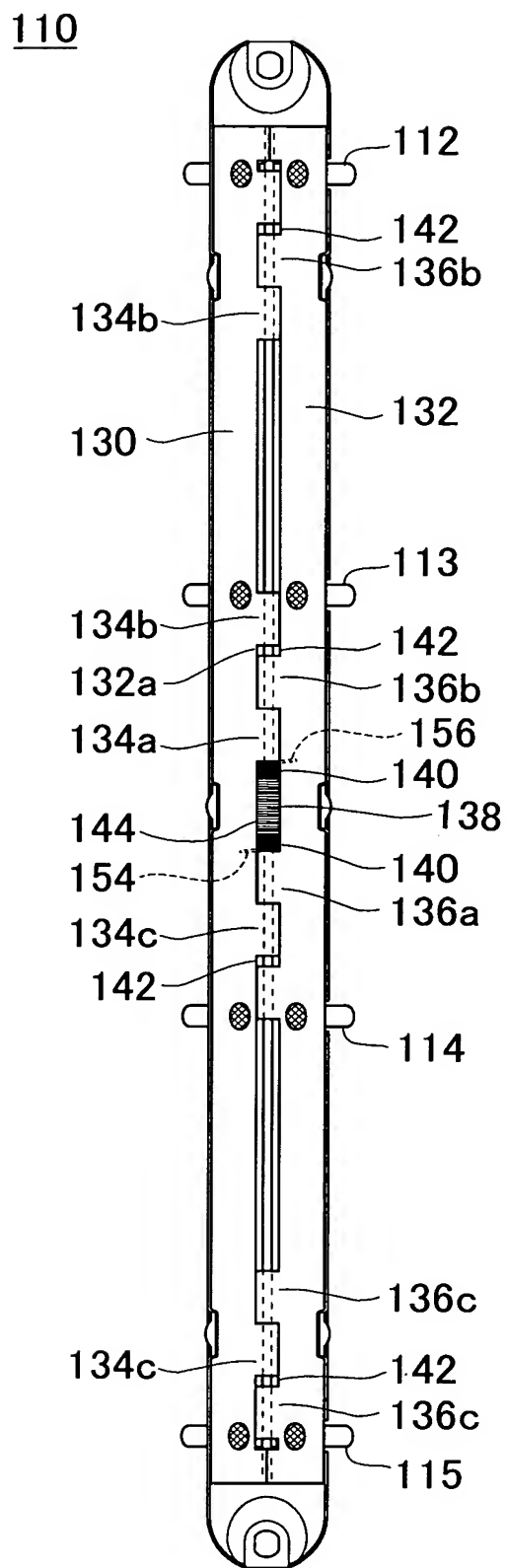


Fig.22

110

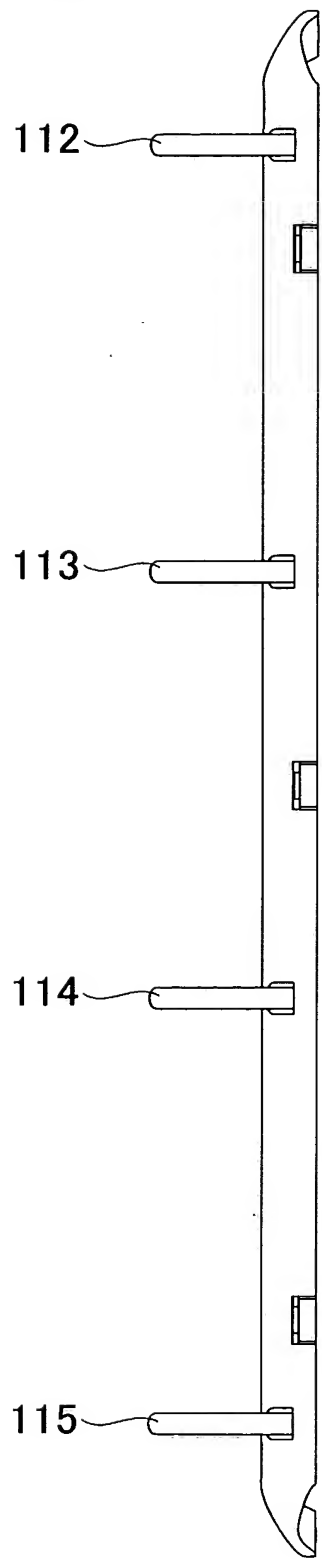


Fig.23A

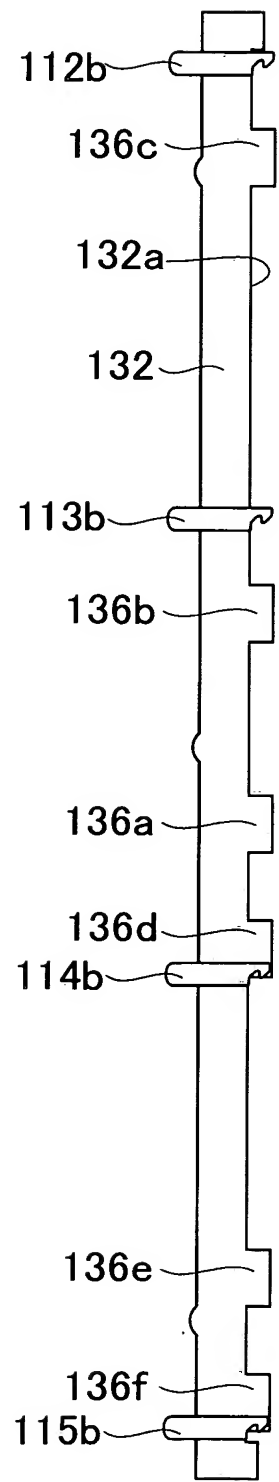


Fig.23B

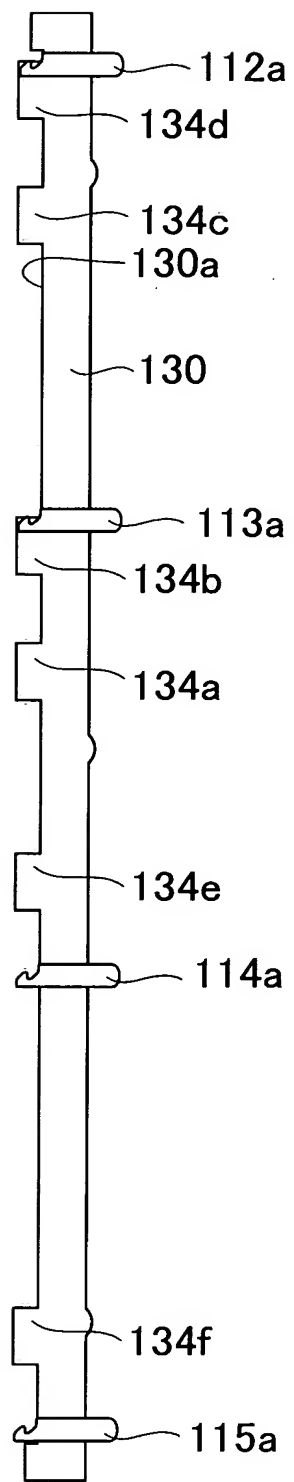


Fig.24A

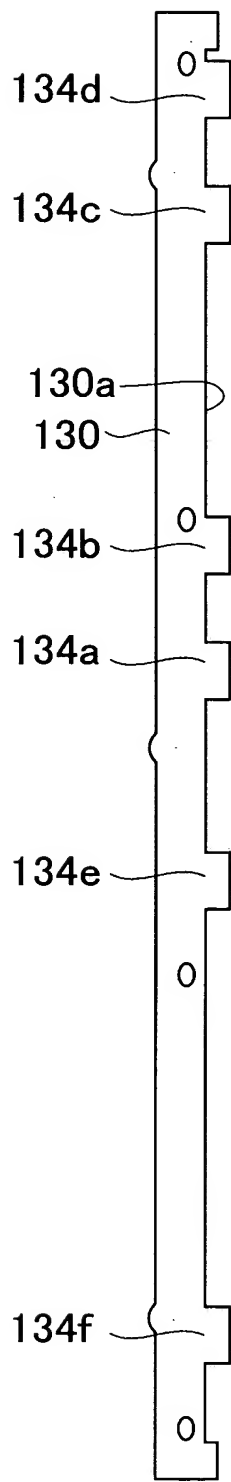


Fig.24B

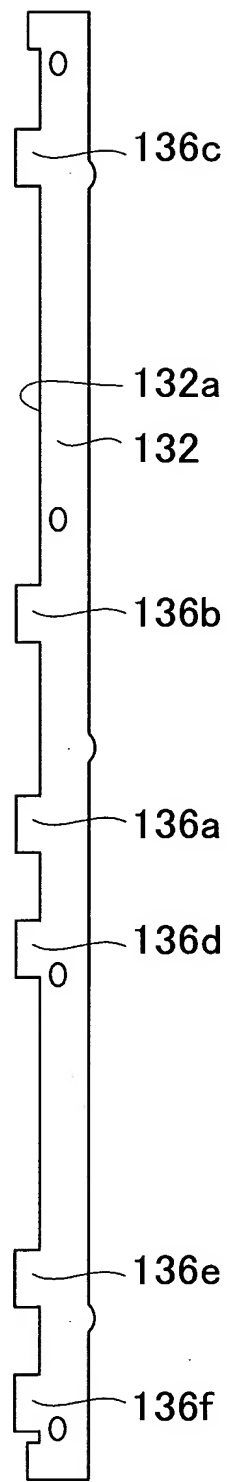


Fig.25A

140

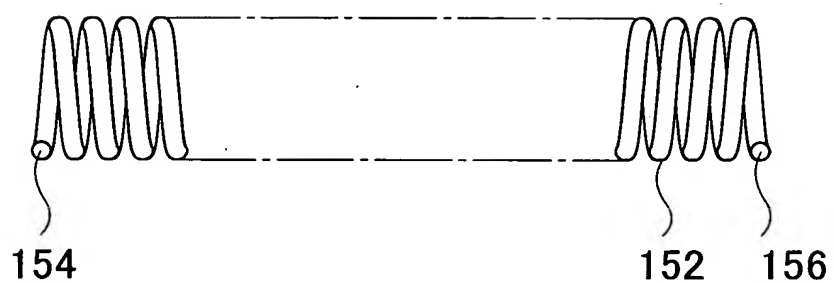


Fig.25B

140

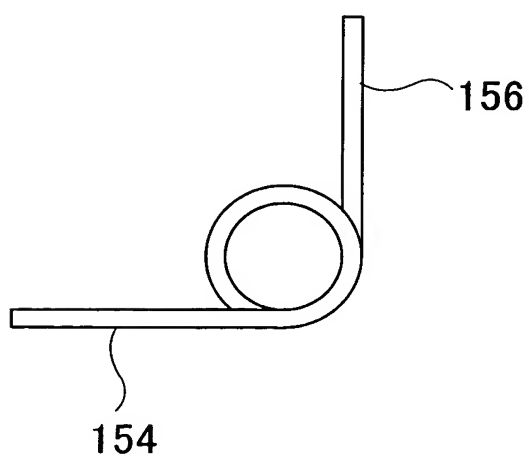


Fig.26

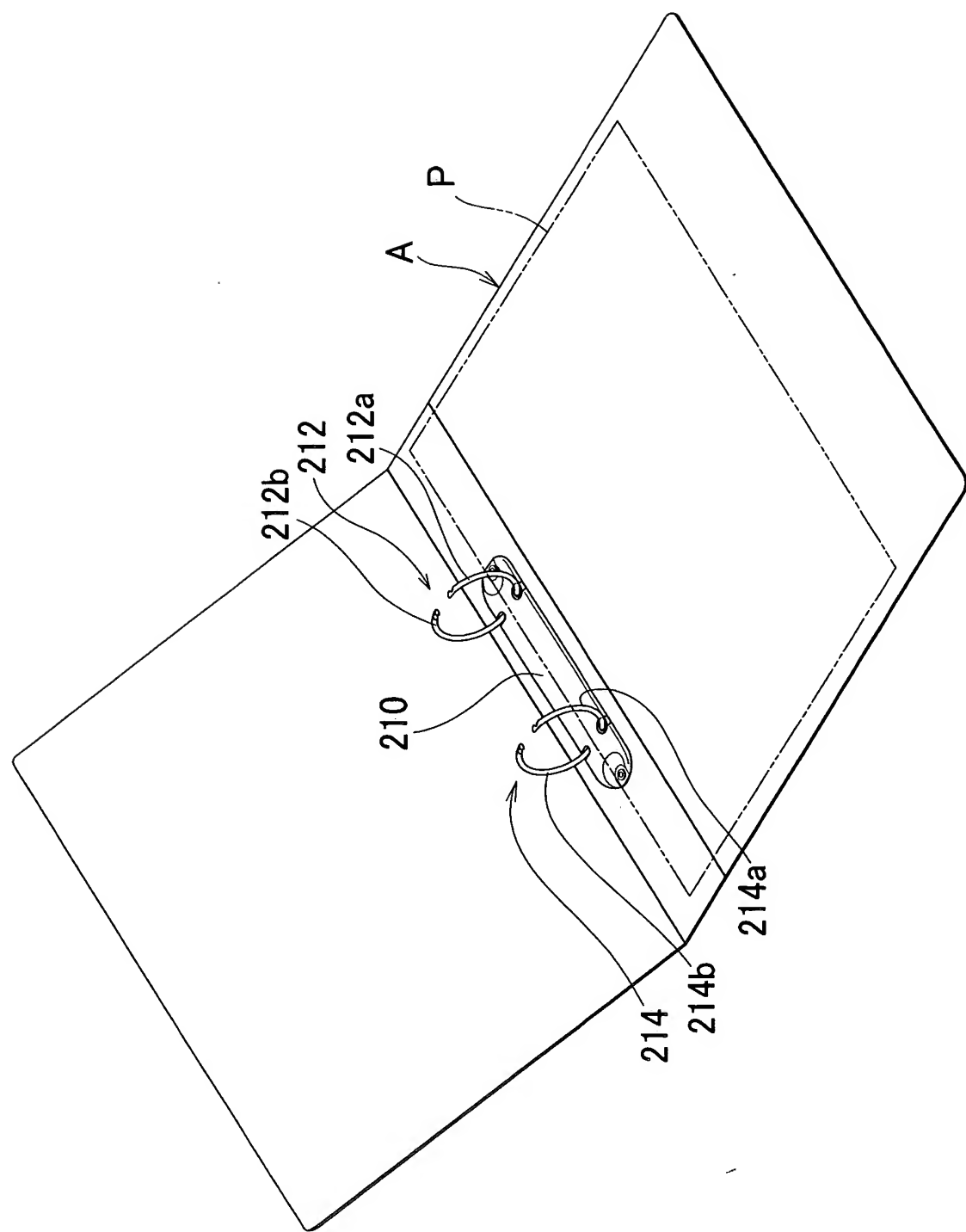


Fig.27

210

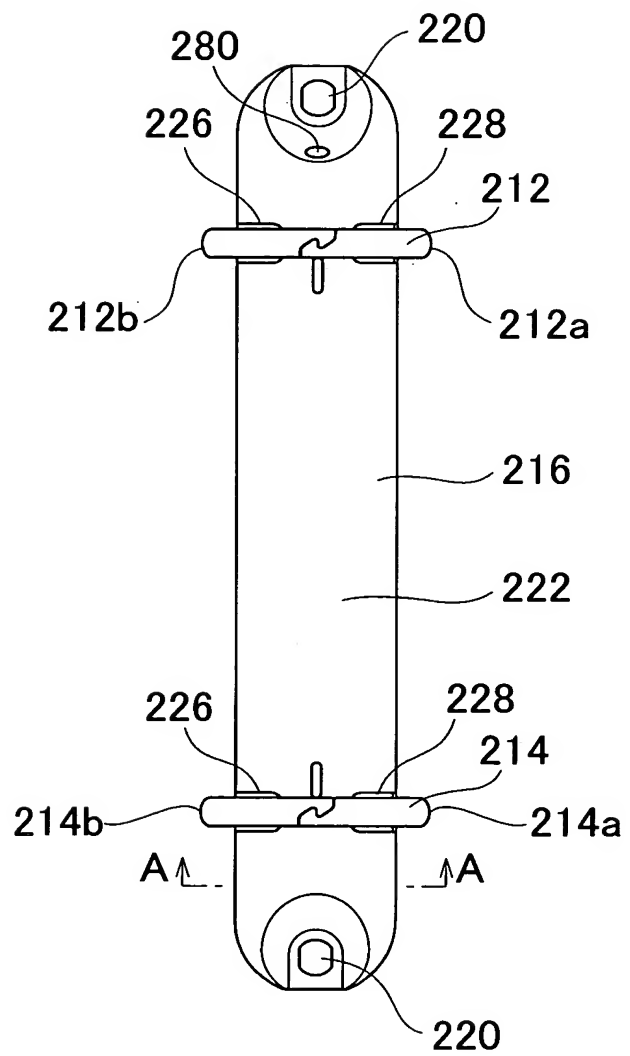


Fig.28

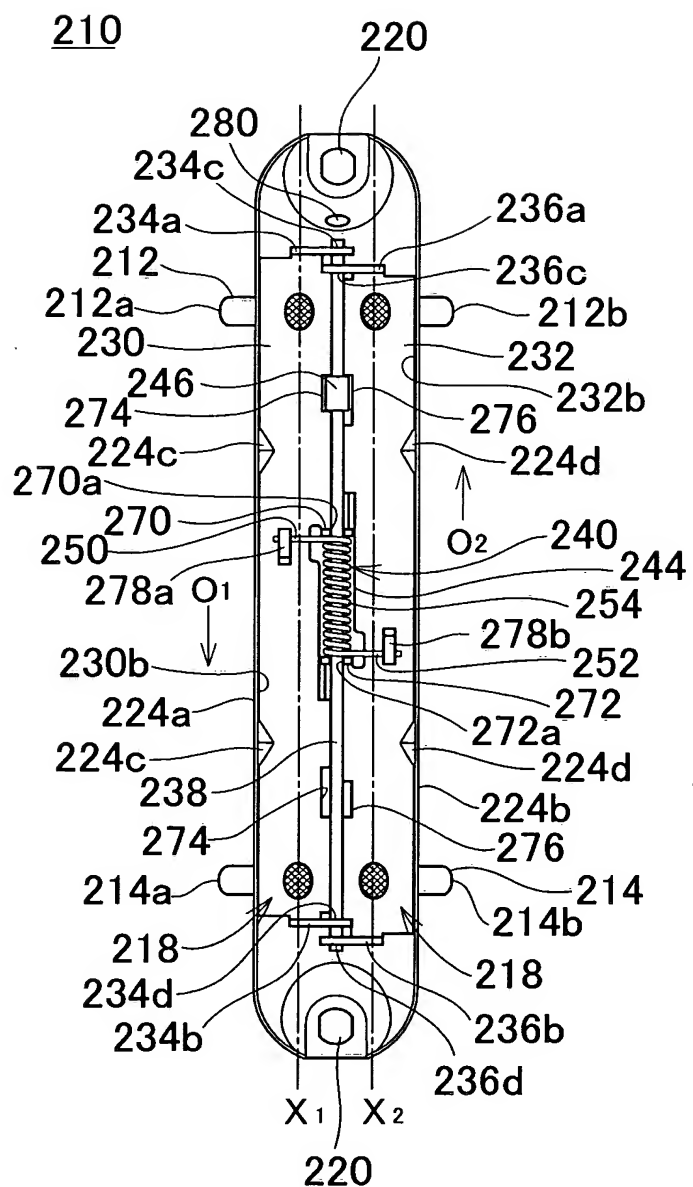


Fig.29

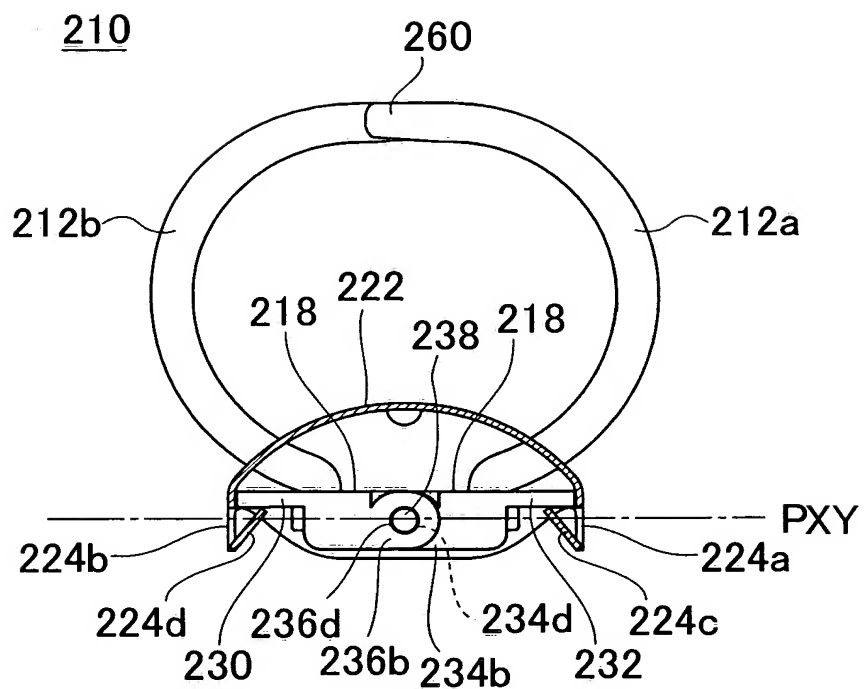


Fig.30

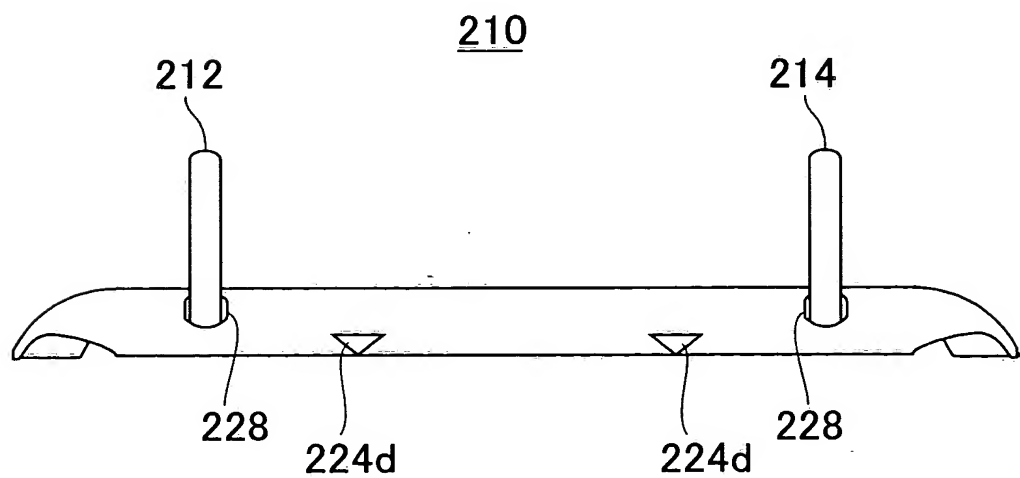


Fig.31

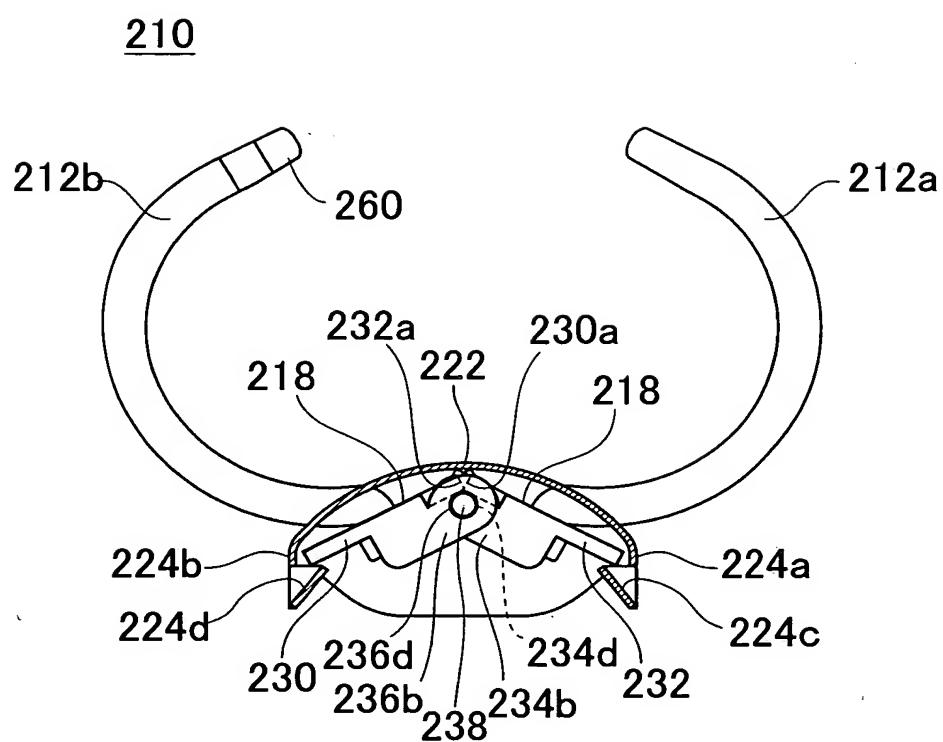


Fig.32

210

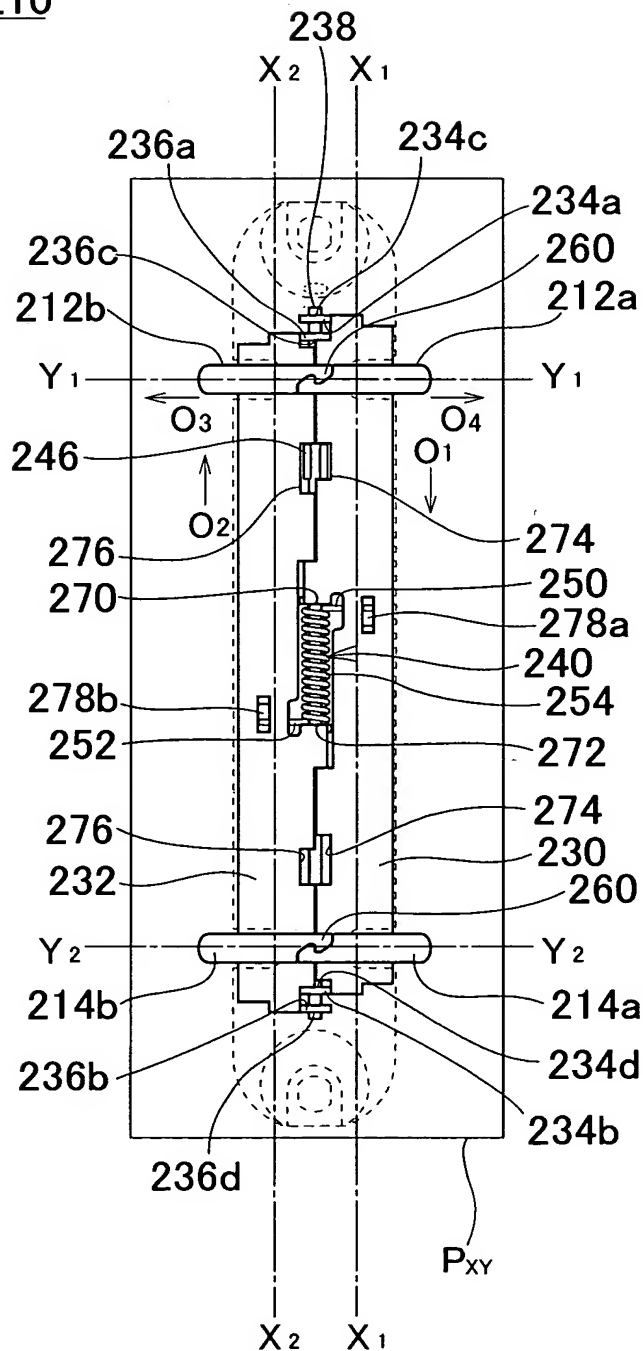


Fig.33

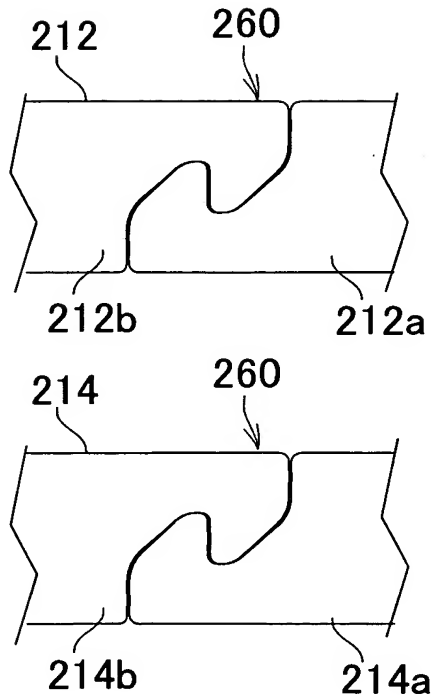
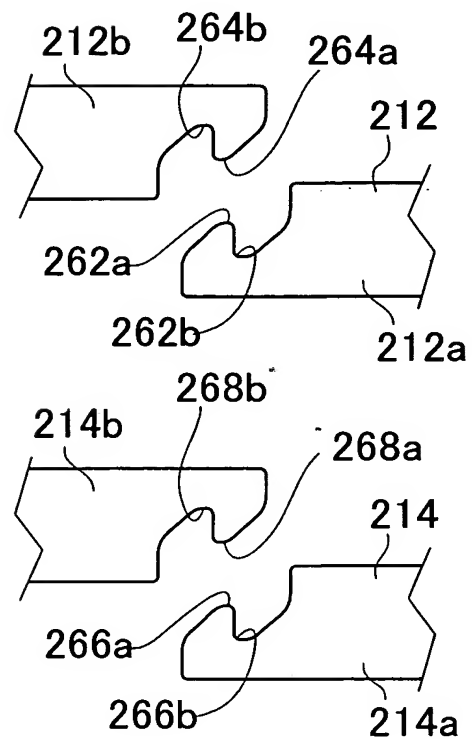
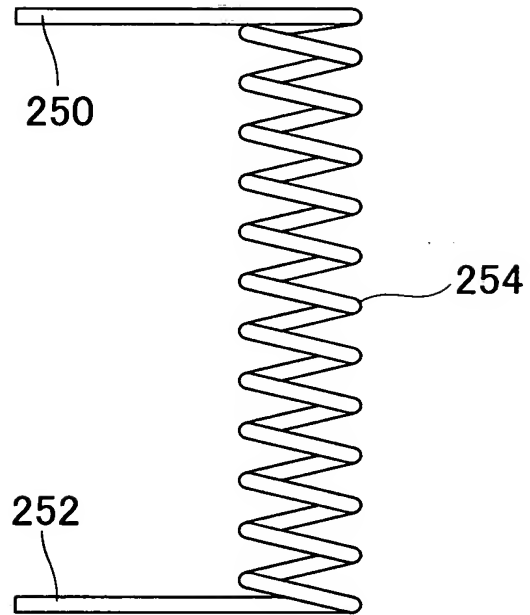


Fig.34



**Fig.35**

240



**Fig.36**

240

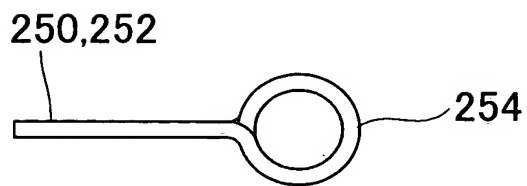


Fig.37

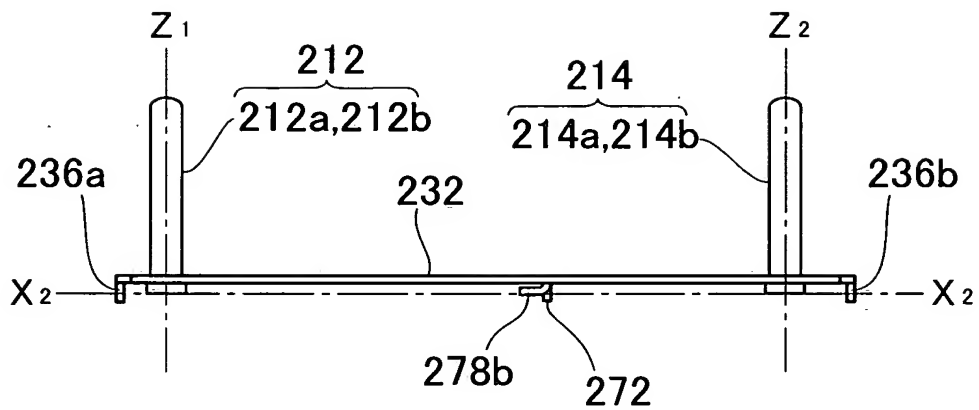


Fig.38A

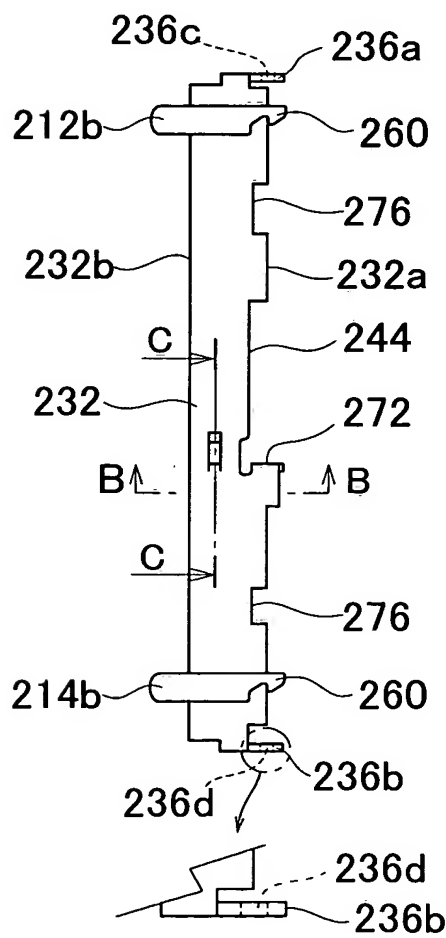


Fig.38B

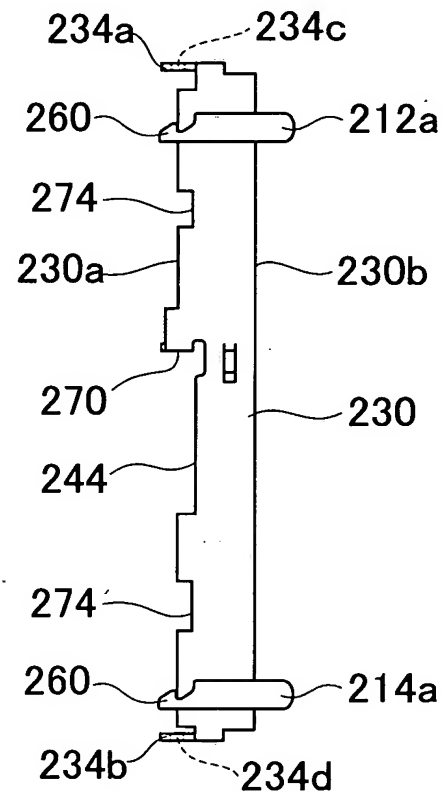


Fig.39A

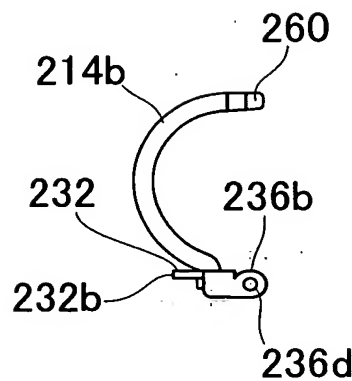


Fig.39B

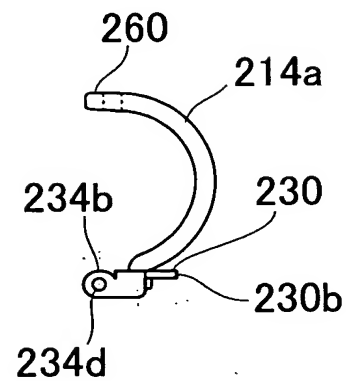


Fig.40A

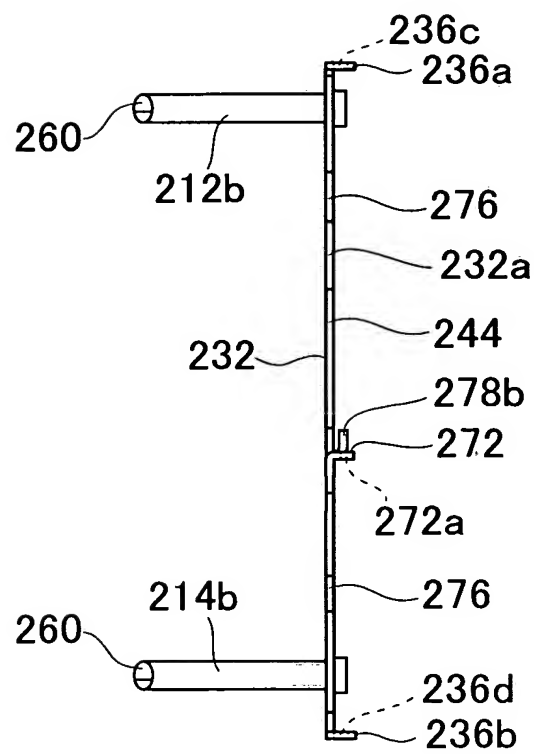


Fig.40B

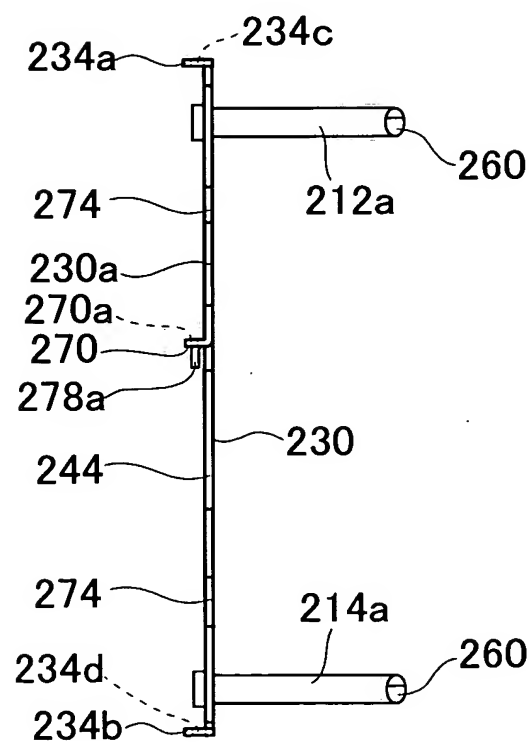


Fig.41A

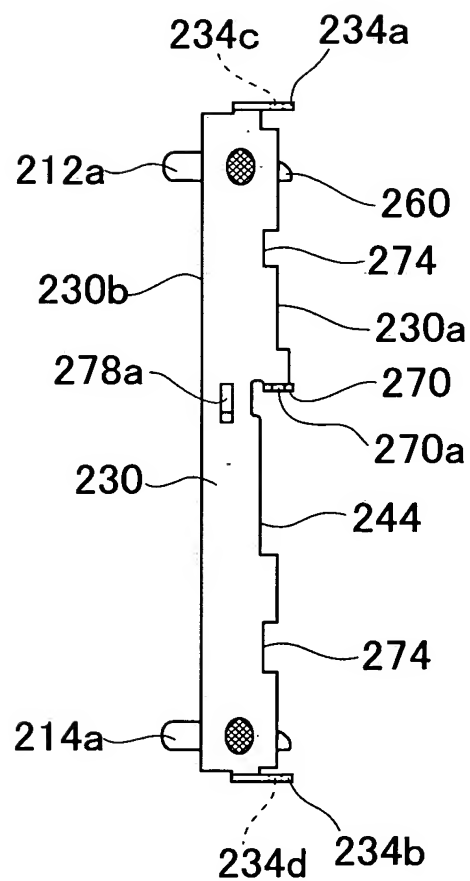


Fig.41B

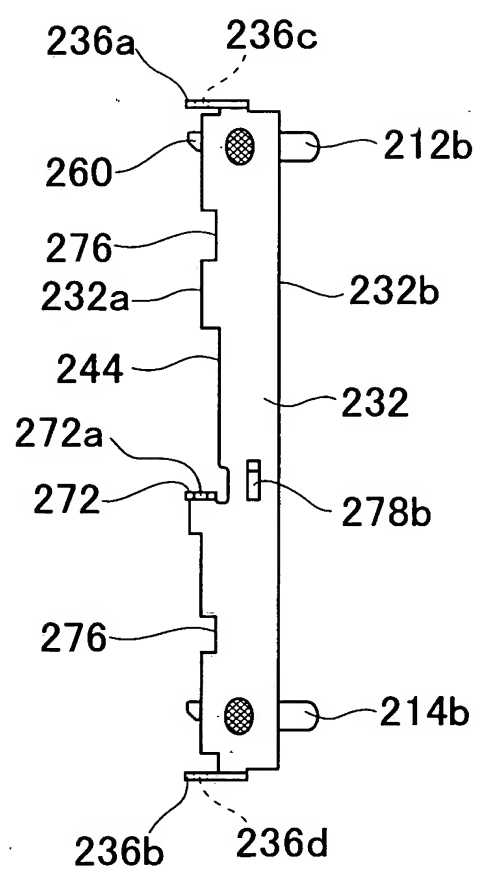


Fig.42

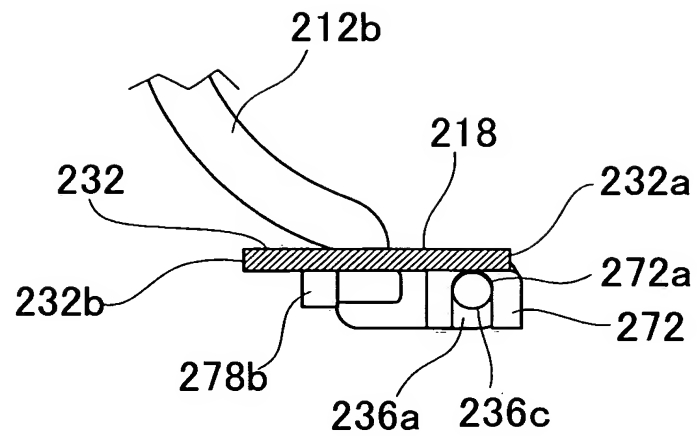


Fig.43

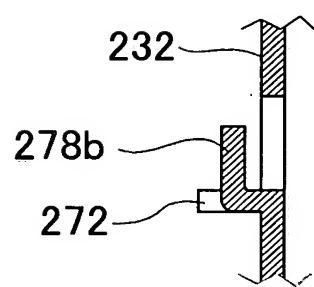


Fig. 44(1)

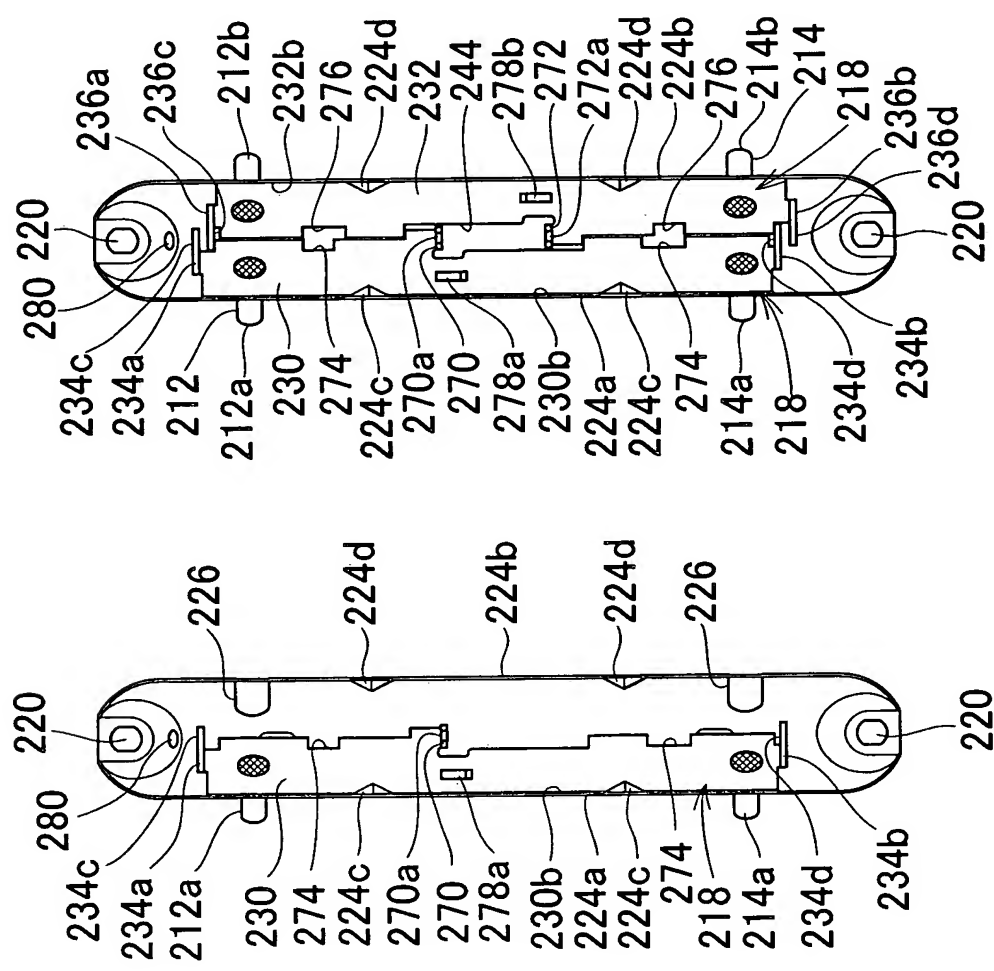


Fig. 44(2)

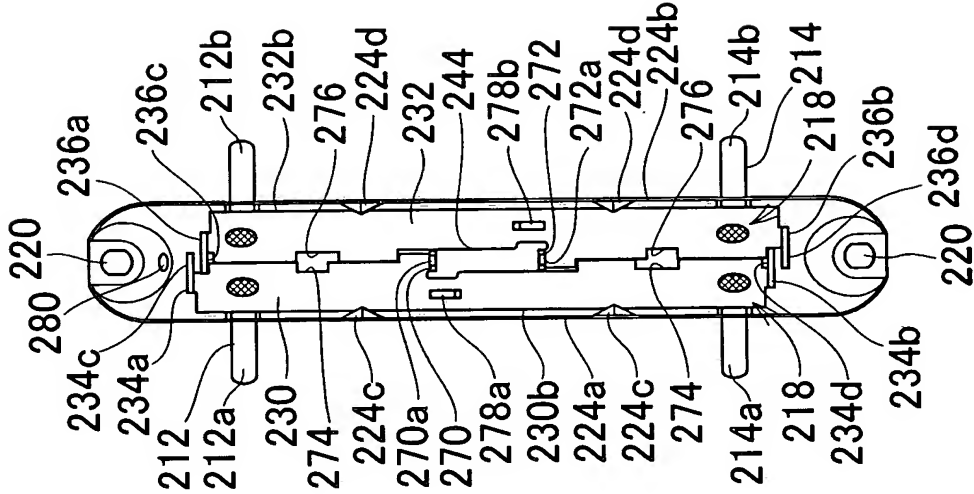


Fig. 4.4(3)

Fig.45(1)

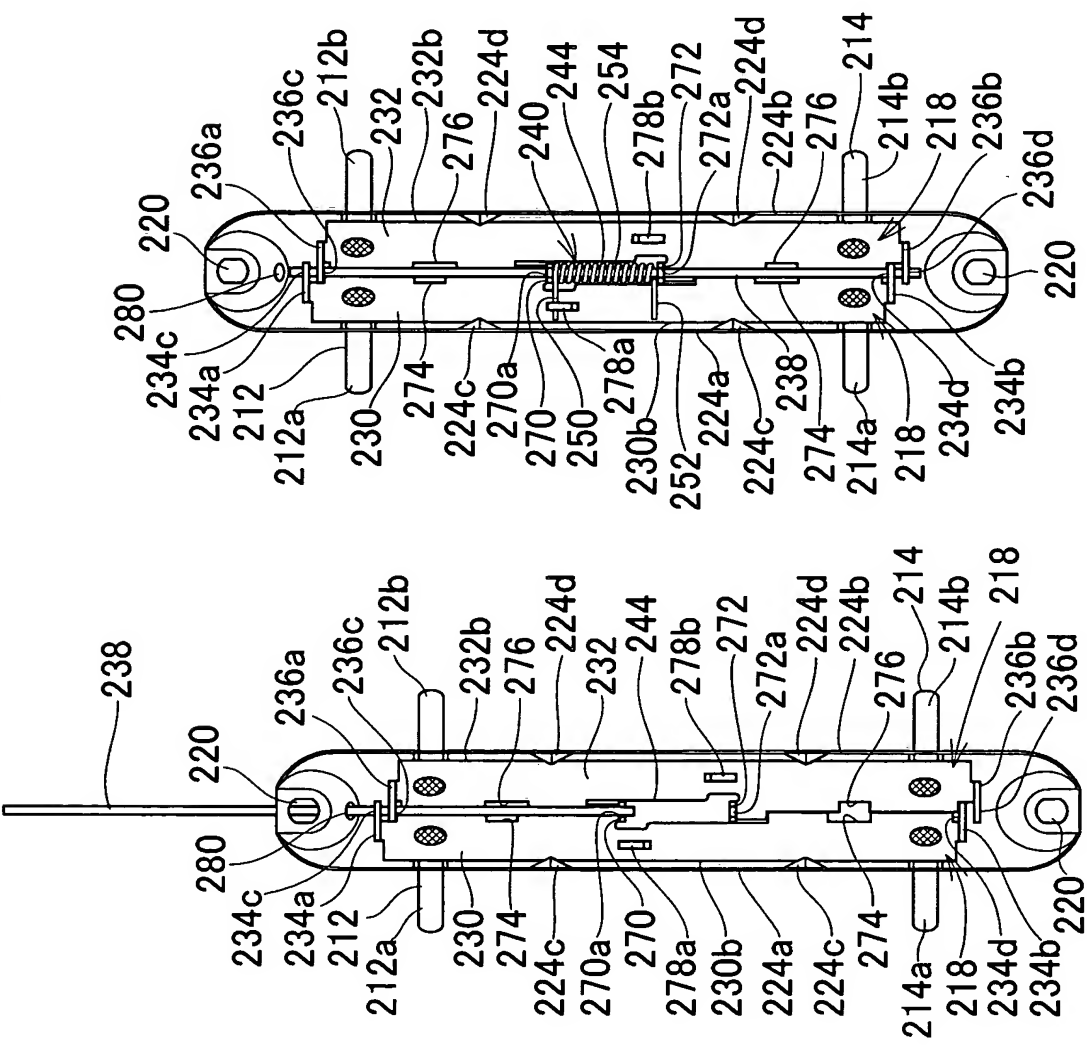


Fig.45(2)

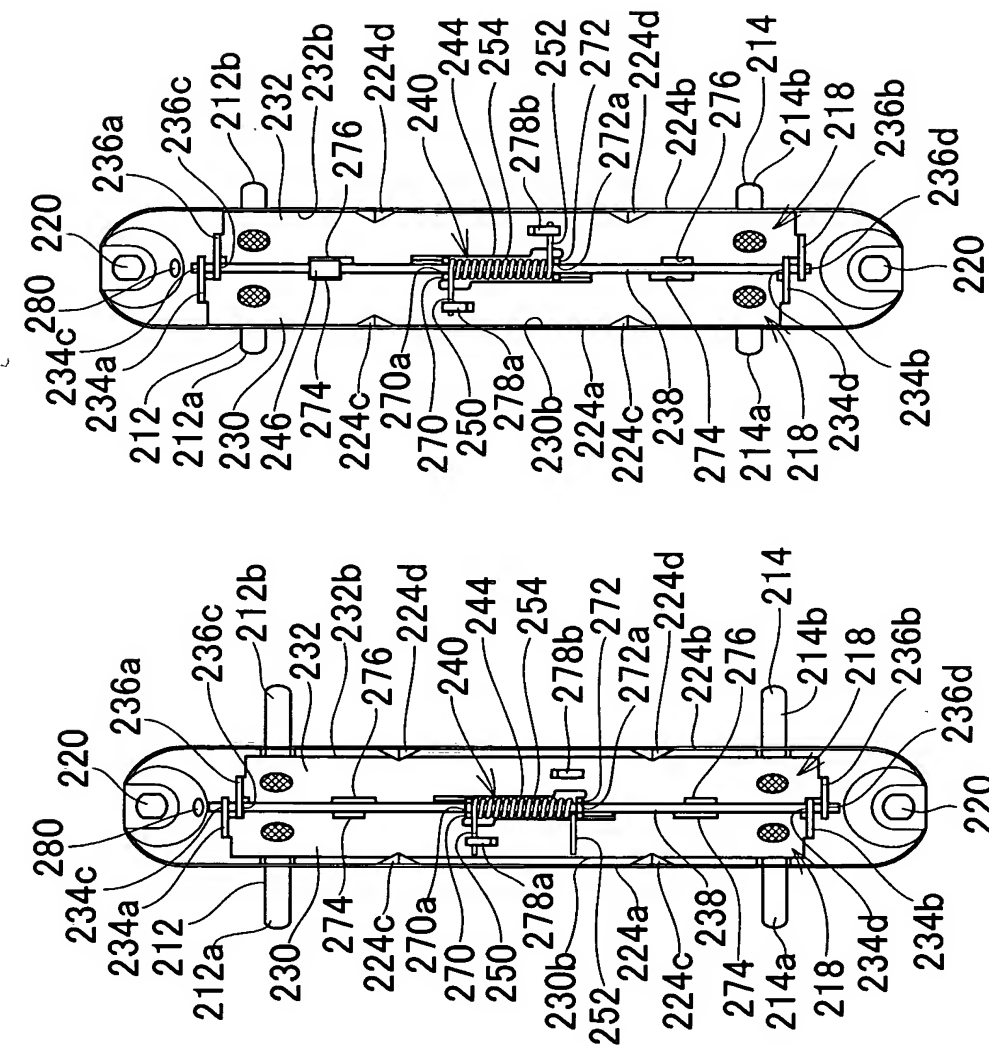


Fig. 45(3)

Fig.46

246

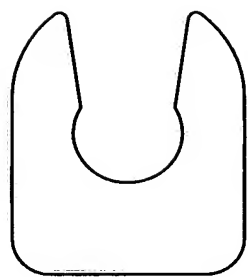


Fig.47

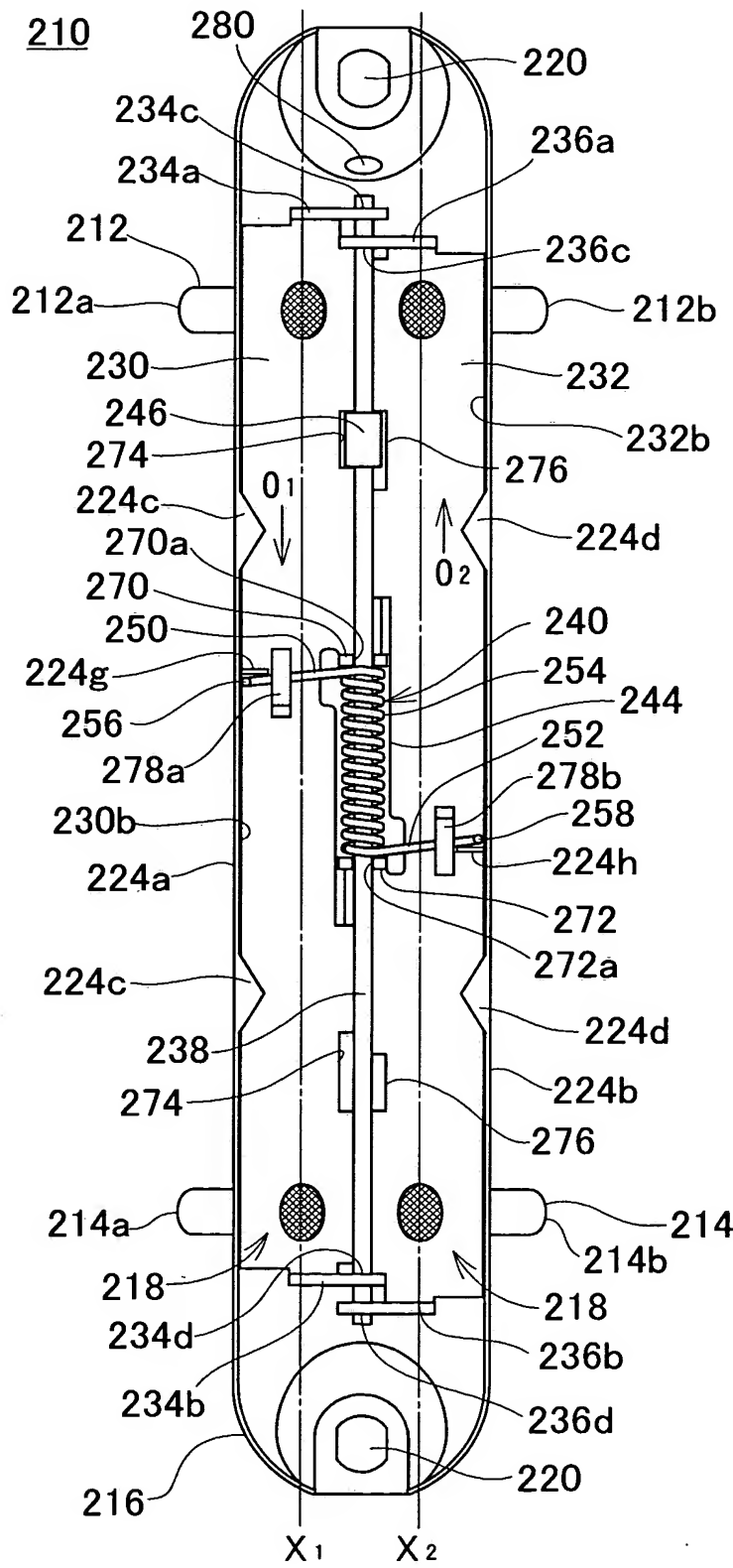


Fig.48

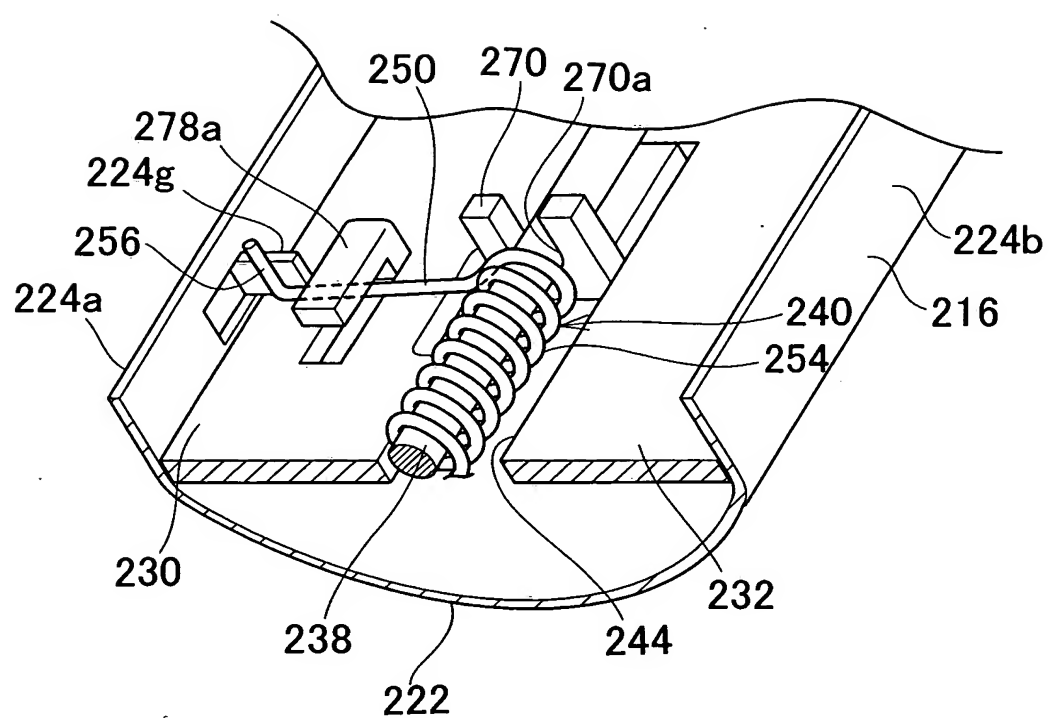


Fig.49

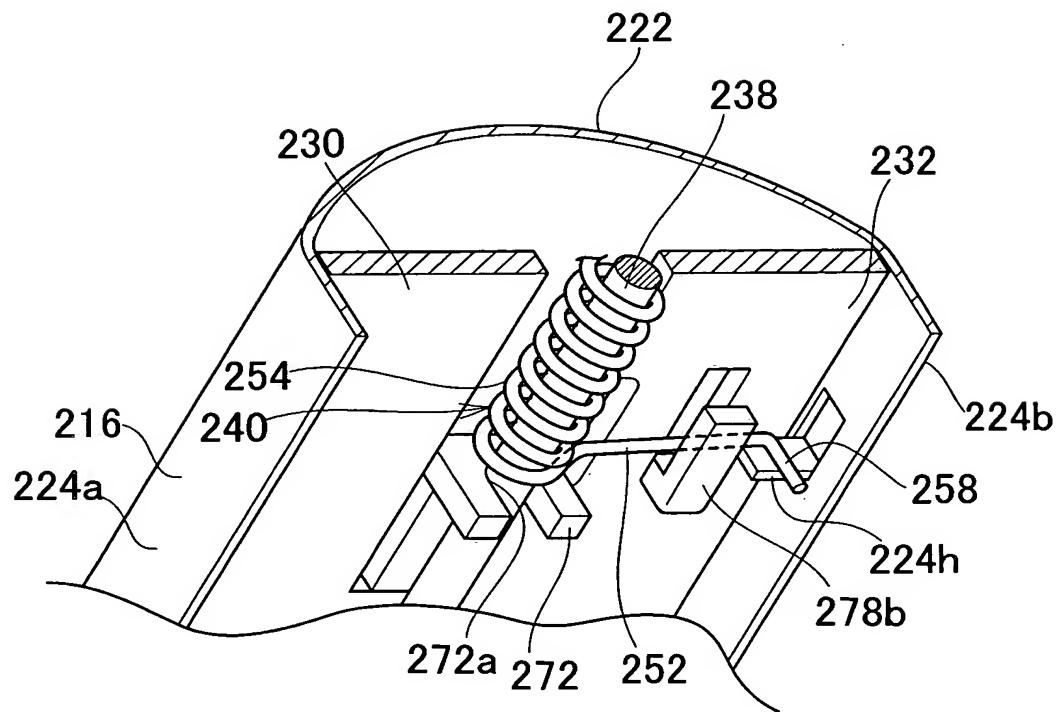


Fig.50

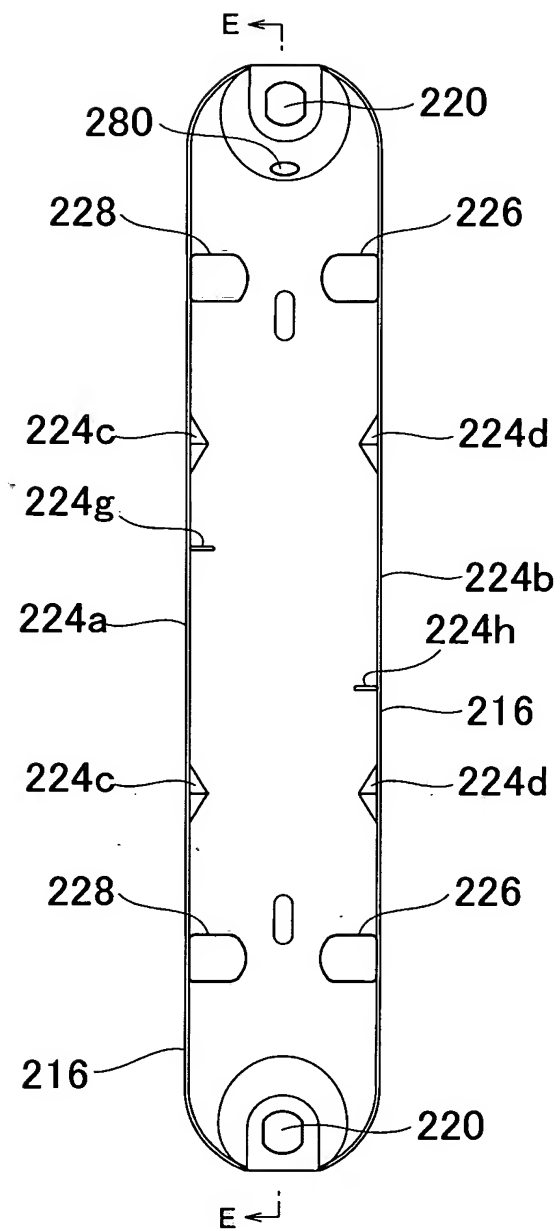


Fig.51

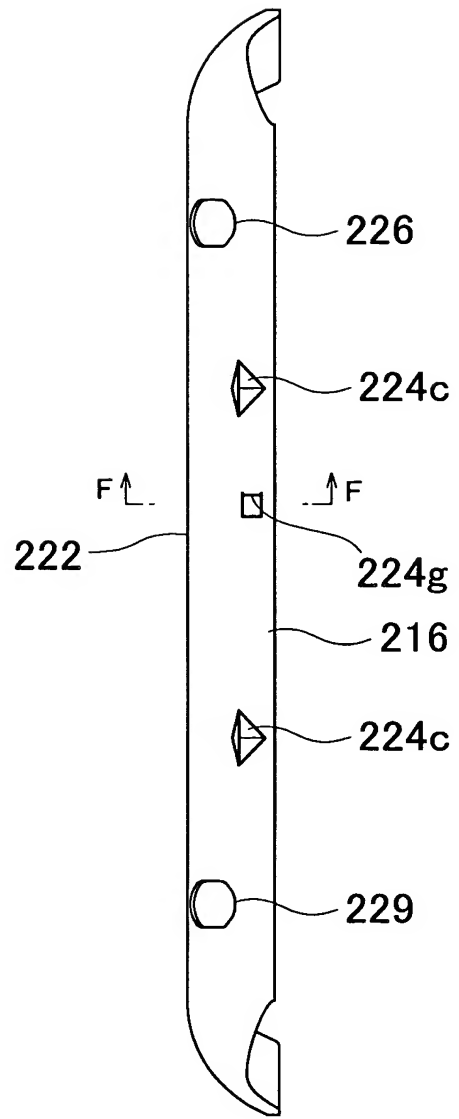
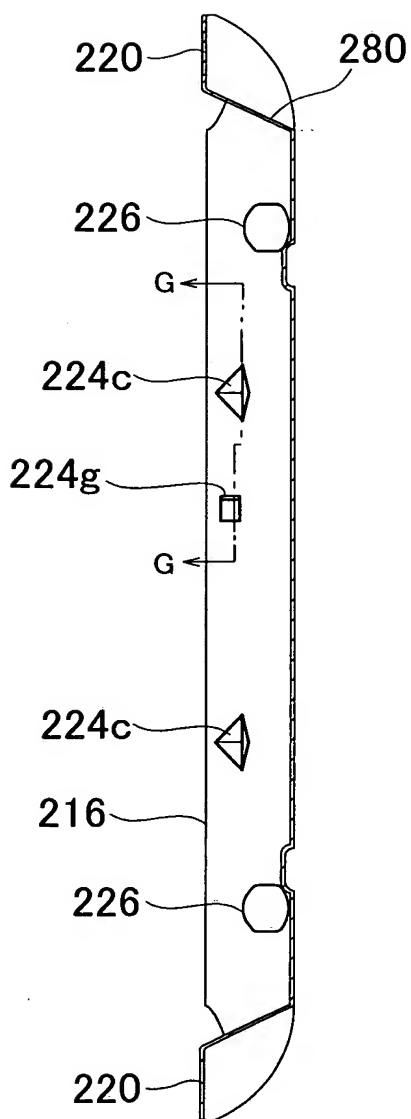


Fig.52



cross-sectional view  
taken along the line E-E

Fig.53

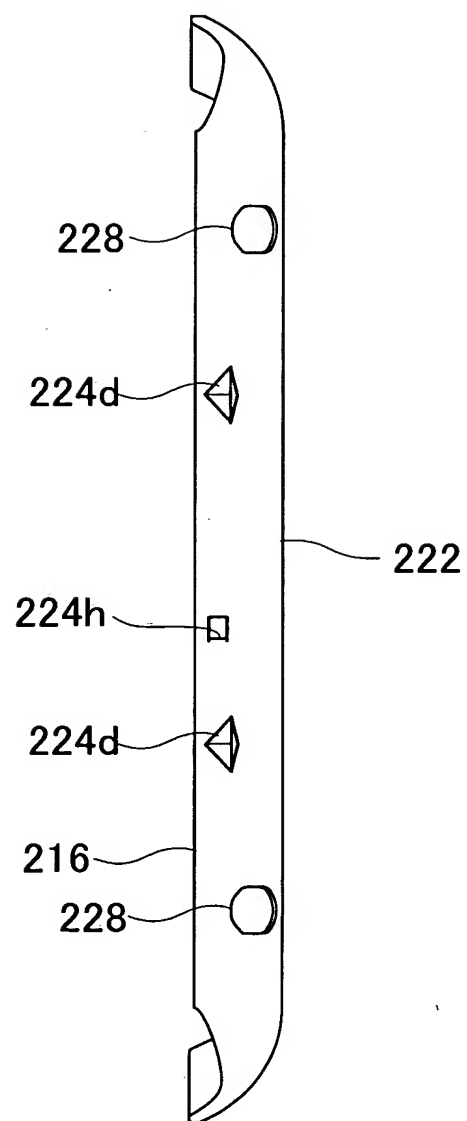


Fig.54

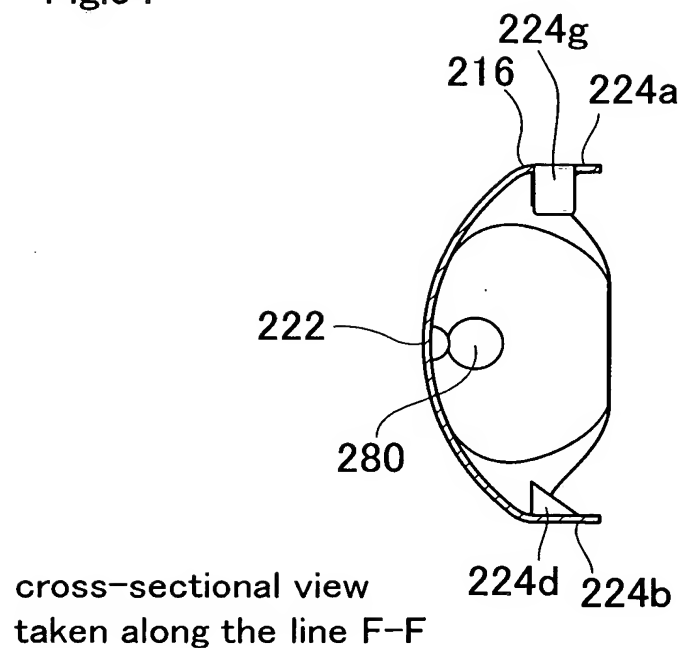
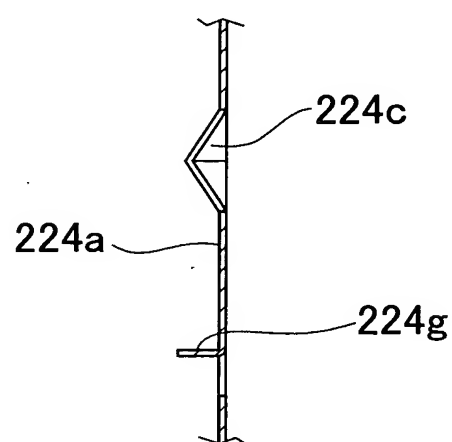
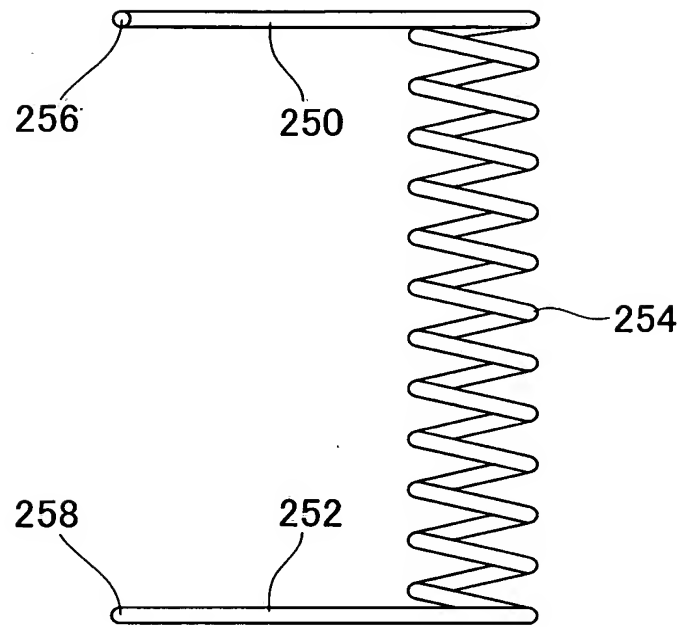


Fig.55



**Fig.56**

240



**Fig.57**

240

